

## الگوهای همدیدی و ترمودینامیکی رودخانه‌های جوی منجر به بارش سنگین

### دوره سرد کشور ایران

حسن لشکری<sup>\*</sup>، ندا اسفندیاری<sup>۲</sup>

۱. دانشیار گروه جغرافیای طبیعی، دانشکده علوم زمین، دانشگاه شهید بهشتی، تهران

۲. دانشجوی دکتری آب و هواشناسی سینوپتیک، دانشگاه شهید بهشتی، تهران

#### چکیده

رودخانه‌ی جوی، پدیده‌ای تقریباً نوظهور در ادبیات علمی جهان هست که به‌سبب ارتباط با فرین‌های جوی به‌خصوص بارش‌های سنگین و سیل‌آسا مورد بررسی قرار گرفته است. روش کار این مطالعه گردشی به محیطی قلمداد می‌شود؛ به‌این‌گونه که ابتدا برای شناسایی رودخانه‌های جوی از داده‌های یکپارچه شده شار قائم پخار آب استفاده گردید و معیارهایی برای تفکیک آن از شارش‌های روزانه تعیین شد. سپس صدک نodium بارش روزانه برای ایستگاه‌های همدید سراسر کشور به عنوان معیار بارش سنگین درنظر گرفته شد. تاریخ‌های مرتبط با بارش‌های سنگین به‌هنگام حضور رودخانه‌های جوی به‌دست آمد و الگوهای آن پس از تهیه ماتریسی  $1190 \times 107$  از ارتفاع ژئوپتانسیل ۱۰۰۰ هکتوپاسکالی به‌روش تحلیل عاملی و بررسی ارزش ویژه هر تاریخ استخراج شد. نتایج نشان داد ۳ عامل اول نزدیک به ۷۰ درصد براش مجموع را تبیین می‌کنند. در یک جمع‌بندی کلی در تمام الگوها کم‌فشار سودان نقش غیرقابل انکاری در شکل‌گیری رودخانه‌های جوی و ایجاد بارش‌های سنگین داشته است. در الگوی ترکیبی کم‌فشار سودان و مدیترانه مناطق جنوب غرب و غرب کشور بیشترین اثربداری را داشته‌اند. الگوی ترکیبی کم‌فشار سودان و چرخدن شرق اروبا بخش‌های گسترده‌تری از کشور را در برگرفته است. نفوذ این‌گونه سامانه‌ها بر روی کشور بیشتر از سایر الگوها بود. در الگوی ترکیبی کم‌فشار سودان و واخرخند مهاجر رودخانه‌ها و پهنه بارشی گسترش زیادی به عرض‌های شمالی کشور نداشتند. از نظر ساختار شکل‌گیری، در تمام الگوها در ترازهای زیرین وردسپهر کم‌فشار سودان و پرفشار سبیری نقش اصلی در ایجاد شیو حرارتی و انتقال رطوبت به رودخانه‌های جوی داشتند و منابع رطوبتی در این لایه‌ها دریای عمان- عرب بودند.

واژگان کلیدی: الگوی همدیدی، رودخانه‌های جوی، بارش سنگین، ایران.

## مقدمه

حجم عظیمی از رطوبت در تروبوسفر پایینی توسط مسیرهایی باریک و بلند به نام رودخانه‌های اتمسفری در حال حرکت هستند. بخش اعظم از بخارآب انتقال یافته بهوسیله آنها در صورتی که با شرایط همدیدی و ترمودینامیکی مناسب همراه شود می‌تواند موجب بارش‌های سنگین یا سیلاب در مناطق تحت تأثیر از این پدیده شود. اگرچه هنوز در مورد شروع و شکل‌گیری آن از رطوبت منطقه حاره (کنیپر و همکاران، ۲۰۱۳) و یا کمربند انتقال‌دهنده گرمای پیشانی جبهه سرد سیکلون‌های برون حاره (باوث و همکاران، ۲۰۰۶) برخی اختلاف‌نظرها وجود دارد، این رودخانه‌های جوی سالانه در مناطق مختلف جهان با منشأ حاره‌ای و گاه جنب‌حاره‌ای تشکیل شده و مقادیر عظیمی از رطوبت را از عرض‌های جنوبی به عرض‌های میانه و شمالی فرارفت می‌کنند؛ به این ترتیب رودخانه‌های جوی نقش مهمی در چرخه جهانی آب و به خصوص در فرین‌های آب و هواشناسی دارند (ژو و نیوول، ۱۹۹۸). والیز و گوان (۲۰۱۷) نشان دادند این پدیده در توزیع نیمی از رخدادهای فرین باد و بارش بهویژه در عرض‌های متوسط مشارکت دارد. ایشان ۴۰ تا ۷۵ درصد رخداد این دو پدیده فرین را در بیش از ۴۰ درصد نواحی ساحلی جهان به رودخانه‌های جوی بارش‌شو نسبت دادند. پالتان و همکاران (۲۰۱۷) نقش رودخانه‌های اتمسفری در سیلاب‌های جهانی و دسترسی به آب را بررسی کردند و دریافتند که بارش‌های رودخانه‌های جوی تقریباً ۲۲ درصد مجموع رواناب را در بیش از ۵۰ درصد مناطق جهان شامل می‌شوند. مناطق مستعد از این پدیده تا ۸۰ درصد احتمال سیلاب را افزایش داده همچنین نشان دادند تقریباً ۳۰۰ میلیون از مردم جهان در معرض سیل و خشک‌سالی متأثر از این پدیده می‌باشند. ریو و همکاران (۲۰۱۱) منشأ و مسیر رودخانه‌های اتمسفری که منجر به بارش‌های شدید در سواحل غرب آمریکا شدند را موردنبررسی قراردادند و ۱۰ مسیر با منشأهای متفاوت یافت کردند. نتایج ایشان نشان داد گردش بزرگ‌مقیاس کنترل‌کننده اصلی در انتقال رطوبت در این مناطق است. لاورز (۲۰۱۳) نتایج آن‌ها بر روی ناهنجاری‌های فشار سطح دریا مرتبط با رودخانه‌های جوی نشان داد تراف قرارگرفته در مرکز ایالات متحده و پشتی‌قی قرارگرفته بروی شرق سواحل ایالات متحده منجر به وزش بادهای جنوبی و فرارفت رطوبت بر روی منطقه شده است. همچنین باراکا و همکاران (۲۰۱۸) به تحلیل ارتباط رودخانه‌های جوی و سیلاب در منطقه گالیشیای اسپانیا تحت شرایط همدید پرداختند.

اهمیت رودخانه‌های جوی به‌سبب احتمال ارتباط آن‌ها با مجموع بارش کلی نیز هست. در آمریکای شمالی بین ۲۰ تا ۴۵ درصد از بارش در مرکز و شمال کالیفرنیا را به رودخانه‌های جوی نسبت دادند این میزان در برخی سال‌ها به ۵۰ درصد نیز رسیده است. (دتینگر و همکاران، ۲۰۱۱) همچنین این ارتباط حدود ۲۰ تا ۳۰ درصد برای مجموع بارش‌های غرب اروپا به‌دست‌آمده است (لاورس و ویلارینی، ۲۰۱۵).

در ایران مطالعات محدودی به بررسی این پدیده پرداخته‌اند. شادمانی (۱۳۹۵) وجود یا عدم وجود رودخانه‌های جوی را بر ۲ مورد بارندگی شدید منجر به سیل در غرب و جنوب کشور موردنبررسی قرارداد. نتایج ایشان نشان داد مبدأ و منشأ مسیرهای حرکت رطوبتی همگی به سمت جنوب (استو) می‌باشند، ولی به طور کامل به استوا نمی‌رسند. سلیمی و سلیقه (۱۳۹۴) به بررسی حمل و انتقال بخارآب از طریق رودخانه‌های اتمسفری در لایه‌های مختلف جو برای دوره سه‌ساله (۲۰۱۱-۲۰۱۳) پرداختند. نتایج تحلیل ایشان نشان داد که سالانه به طور میانگین، حدود دوازده رودخانه اتمسفری تشکیل می‌شود که رطوبت بخشی از بارش‌های ایران را تأمین می‌کند. در این مطالعه

مجموع شار بخارآب تمام ستون جو یکجا درنظر گرفته نشده است. اکبری و همکاران (۲۰۱۹) با همین روش طولای ترین و عمیق‌ترین مسیرها را با طول چندین هزار کیلومتر در خاورمیانه به عنوان رودخانه‌های جوی معرفی کردند.

طبیعت خشک و نیمه‌خشک ایران، دسترسی به منابع محدود آبی و شدت تأثیر منطقه از پدیده‌های فرین اهمیت مطالعه این پدیده را نشان می‌دهد. تاریخچه اقلیمی کشور نشان می‌دهد وقوع بارش‌های سنگین همه‌ساله منجر به سیلاب‌های مخرب می‌شود و علاوه بر اینکه حجم زیادی از بارش‌ها را دسترس خارج می‌سازد، خسارت‌های عظیمی به زیرساخت‌ها و منابع طبیعی وارد می‌کند. بنابراین مفهوم رودخانه‌های جوی و شناسایی آن‌ها چارچوب جدید و عملی برای آزمون و سنجیدن شرایط جوی مرتبط با بارش‌های سنگین را فراهم می‌کند (رالف و همکاران، ۲۰۱۸) و بررسی الگوهای جوی مختوم به وقوع بارش‌های سنگین ناشی از این پدیده می‌تواند در پیش‌آگاهی و کنترل شرایط سیلابی به برنامه‌ریزان محلی کمک نماید.

بنابراین، این مطالعه الگوهای اصلی حاکم بر رخداد رودخانه‌های جوی را که با بارش‌های سنگین در ششم‌ماهه سرد و بارشی ایران همراه بوده‌اند شناسایی می‌کند و شرایط ترمودینامیکی و همدیدی آن‌ها را بررسی خواهد کرد.

## داده‌ها و روش‌ها

به‌طورکلی از دو رویکرد در به‌کارگیری داده‌ها باهدف شناسایی رودخانه‌های جوی استفاده می‌شود (جیمنو ۲۰۱۴): یکی استفاده از داده‌های مجموع بخارآب ستون جو (مانند رالف و همکاران ۲۰۰۴، گوان و همکاران ۲۰۱۰، دتینگر ۲۰۱۱)؛ و دیگری محاسبه داده‌های شار قائم بخارآب می‌باشد (مانند نایاک ۲۰۱۴، اسپینوزا و همکاران ۲۰۱۸، ویتارات و همکاران ۲۰۱۸). داده‌های اول تنها به مرکز بخارآب در جو اشاره دارند (بلامی ۲۰۱۸). داده‌های شار با توجه به ارتباط مستقیم با بارش‌های کوهستانی (نیمن ۲۰۰۸) و یا عوارض پیچیده (جانکر ۲۰۰۸) کاربردی‌تر هستند؛ بنابراین در این مطالعه رویکرد دوم را انتخاب کردیم. به‌این‌منظور جهت شناسایی رودخانه‌های جوی ابتدا داده‌های یکپارچه‌شده شار قائم بخارآب (شرق سو و شمال سو) از مرکز پیش‌بینی میان‌مدت جو اروپا ۱ با تفکیک مکانی ۵/۰ درجه قوسی برای بازه زمانی نوامبر تا اوریل (۲۰۰۷-۲۰۱۸) و درگام‌های ۶ ساعته استخراج شد؛ سپس بزرگی شار رطوبت (MT) بر اساس فرمول زیر محاسبه گردید.

$$MT = \frac{1}{g} \left( \int_{1000\text{hPa}}^{300\text{hPa}} q u dp + \int_{1000\text{hPa}}^{300\text{hPa}} q v dp \right) \quad (1)$$

در اینجا  $q$  نشان‌دهنده نم ویژه،  $u$  و  $v$  مؤلفه‌های مداری و نصف‌النهاری باد،  $g$  شتاب گرانی و  $dp$  اختلاف فشار میان دو سطح هست (لاورز و همکاران ۲۰۱۲، راموس و همکاران ۲۰۱۵)

برای تفکیک رودخانه‌های جوی از شارش‌هایی که به‌طورمعمول و روزانه در جو رخ می‌دهند نیاز به تعیین معیار بود؛ بنابراین در تعیین رودخانه‌های جوی به عنوان منطقه‌ای پیوسته از شار قائم بخارآب که هر شبکه در آن بالاتر از

آستانه باشد با استناد به کار گوان و والیز ۲۰۱۵ از صدک ۸۵ ام منطقه به عنوان آستانه و همین‌طور شرایط ژئومتریک شامل طول بزرگ‌تر از ۲۰۰۰ کیلومتر و نسبت طول به عرض بیشتر از ۲ استفاده شد.

به این‌منظور ابتدا داده‌های بزرگی شار قائم بخارآب در ساعت ۱۲ هر روز به وقت هماهنگ جهانی در محدوده ۱۳ تا ۴۳ درجه شمالی و ۳۳ تا ۶۹ درجه شرقی استخراج شد و سپس صدک ۸۵ ام شار قائم بخارآب منطقه به طور جداگانه برای هرماه محاسبه شد.

نقشه شار قائم بخارآب در گام‌های ۶ ساعته برای هر روز (مشمول دوره آماری) ترسیم گردید. با اعمال فیلتر بر روی هر نقشه مقادیر شار کمتر از آستانه از روی نقشه حذف شدند. به عنوان مثال برای تمام روزهای ماه ژانویه معیار به دست‌آمده از این ماه (صدک ۸۵ ام) به مقدار ۱۵۱ کیلوگرم متر بر ثانیه استفاده شد و تنها مقادیر بالاتر از آن مقدار بر روی نقشه‌ها حفظ شدند.

درنهایت مسیرهایی طویل و باریک بر روی هر نقشه در صورتی که شرایط هندسی که در بالا یاد شد را داشتند و از مرزهای خشکی ایران عبور کرده بودند به عنوان رودخانه جوی حفظ شدند و تاریخ آن‌ها ثبت شد. (رجوع شود به اسفندیاری و لشکری ۲۰۲۰).

برای تعیین بارش‌های سنگین از معیارهای مختلفی استفاده می‌شود. با توجه به اینکه میزان بارش در نواحی مختلف کشور متفاوت می‌باشد استفاده از یک معیار مطلق برای تمام نقاط ایستگاهی کشور مناسب نبود؛ بنابراین به شاخص کاربردی تر صدک‌ها استناد شد. در این شاخص عموماً برای تعیین بارش‌های سنگین به صدک ۹۵ ام یا ۹۰ ام بارش استناد می‌شود. از آنجاکه فراوانی روزهای بارشی بالاتر از صدک ۹۵ ام در کشور کم است (علیجانی ۲۰۱۱) در این مطالعه از صدک ۹۰ ام بارش هر ایستگاه و حداقل بارش ۱ میلی‌متر (به‌منظور جلوگیری از غیرواقعی شدن آستانه بحسب صدک) به عنوان آستانه استفاده شد (مانند گوریزن ۲۰۰۱، هایلوک ۲۰۰۶). داده‌های بارش روزانه برای ۳۴۰ ایستگاه همدید در سراسر ایران از سازمان هواشناسی کشور دریافت و پس از همگنسازی ایستگاه‌ها و رفع خطاهای موجود، آستانه یادشده برای هر ایستگاه به طور جداگانه محاسبه شد. در مرحله بعد بارش‌های روزانه در تاریخ‌هایی که رودخانه‌های جوی حضور داشتند (۳۶۴ تاریخ) استخراج شد و بارش‌های بالاتر از آستانه برای هر ایستگاه در محدوده جغرافیایی که رودخانه جوی گسترش یافته استعلامت زده شد. درنهایت مشخص شد ۱۰۷ تاریخ با بارش سنگین همراه بودند به‌طوری که در هر رخداد حداقل ۵ و حداقل ۷۵ ایستگاه بارش سنگین داشته‌اند.

به‌منظور تعیین الگوهای همدید غالب برای ۱۰۷ تاریخ به دست‌آمده از داده‌های ارتفاع ژئوپتانسیل تراز ۱۰۰۰ هکتوپاسکال با تفکیک مکانی ۲/۵ درجه قوسی از مرکز ملی تحقیقات و پیش‌بینی جو آمریکا استفاده شد و با استفاده از آن‌ها ماتریس زمان – مکان به ابعاد  $107 \times 1190$  تهییه شد. سپس به‌منظور کاهش حجم داده‌ها و به دست آوردن تیپ الگوهای گردشی، تحلیل عامل‌ها به‌روش مؤلفه‌های مبنا برای ماتریس اولیه اجرا شد. جدول ۲ مشخصات روش انجام‌شده را نشان می‌دهد. تعداد عامل‌ها به‌صورت پیش‌فرض پیشنهاد شده و تازمانی که عوامل، تبیین مناسب و کافی از مجموع داده‌ها ارائه کنند تغییر یافت. بنایاراین پس از مشخص شدن مؤثرترین عوامل، با مرتب کردن تاریخ‌ها بر اساس ضرایب همبستگی، نمونه‌های عوامل اصلی با ضریب همبستگی بالاتر از ۰/۸۵ به عنوان تاریخ‌های منتخب

استخراج شده و الگوهای همیدیدی آن‌ها به تفصیل مورد تحلیل قرار گرفتند. به این منظور از نقشه‌های ترکیبی ارتفاع ژئوپتانسیل نم ویژه و جریان تراز ۱۰۰۰، ۸۵۰، ۷۰۰، نقشه‌های امگا در تراز ۷۰۰ و ۵۰۰ به همراه نقشه رودخانه‌های جوی و پهنه‌های بارشی استفاده شد.

پس از بررسی چشمی تمام الگوها، مؤثرترین سامانه جاذب رطوبت به داخل کشور در لایه‌های پایین جو، کم‌فشار سودان شناخته شد؛ بنابراین محور این سامانه (بالاتصال مراکز کم‌فشار) برای هریک از رخدادها در تراز ۱۰۰۰ هکتوپاسکال ترسیم شد و سپس بر اساس نزدیکی به الگوهای اصلی بدست‌آمده از تحلیل عامل‌ها طبقه‌بندی شدند. در نهایت دید بهتری از نحوه گسترش این سامانه در هر الگو بدست آمد.

جدول ۱: مشخصه‌های مورداستفاده و بدست‌آمده در روش تحلیل عامل‌ها

خروجی	وروودی			
روش استخراج	روش تحلیل	نوع چرخش	درصد تبیین	ماتریس نهایی
تعداد عامل‌ها	ماتریس اولیه			
۱۰	۰/۹۰۴	۱۰۷×۱۰	۱۱۹۰	۱۰۷×۱۰
همبستگی متعماد واریماکس				
مبنای				

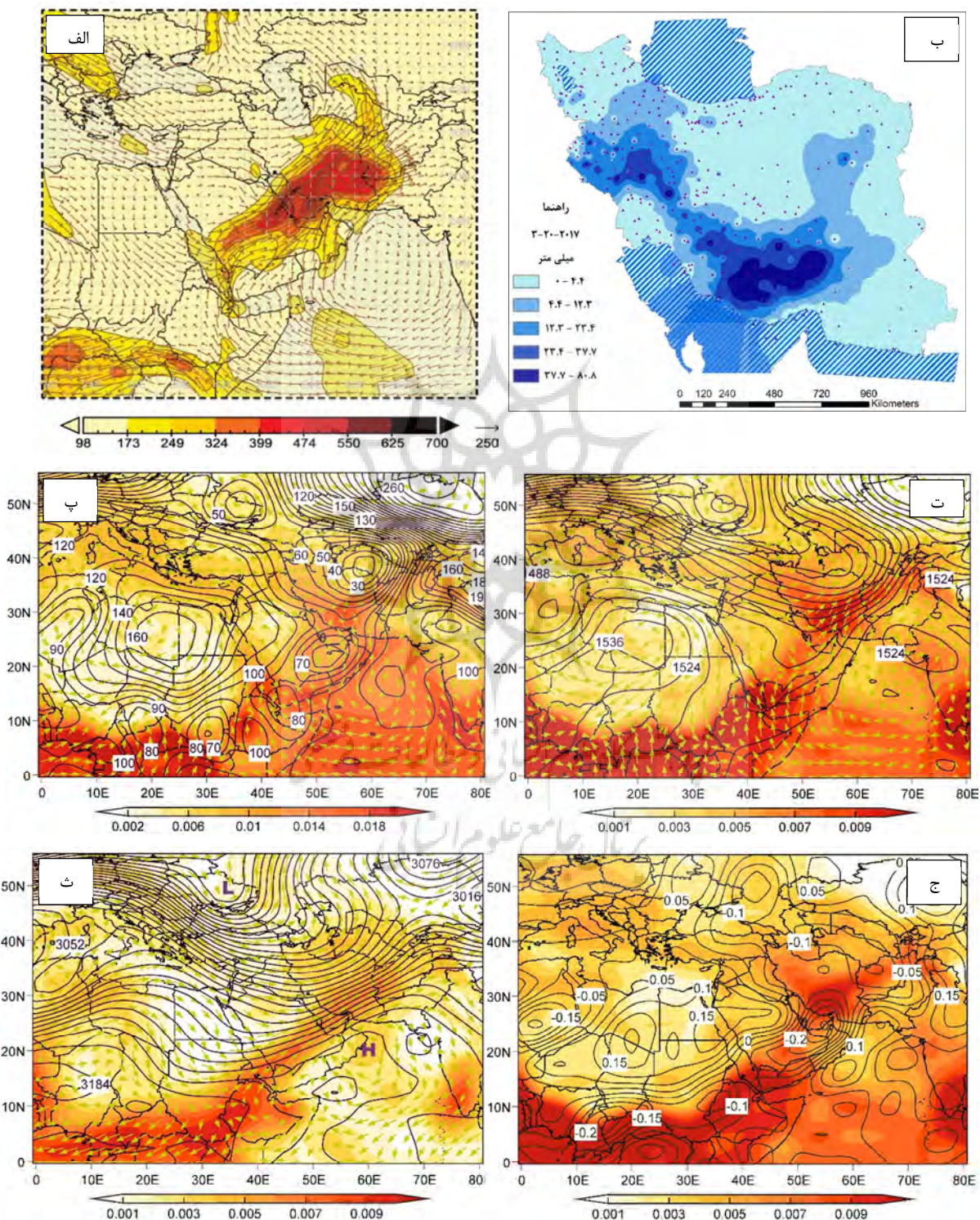
#### یافته‌های تحقیق

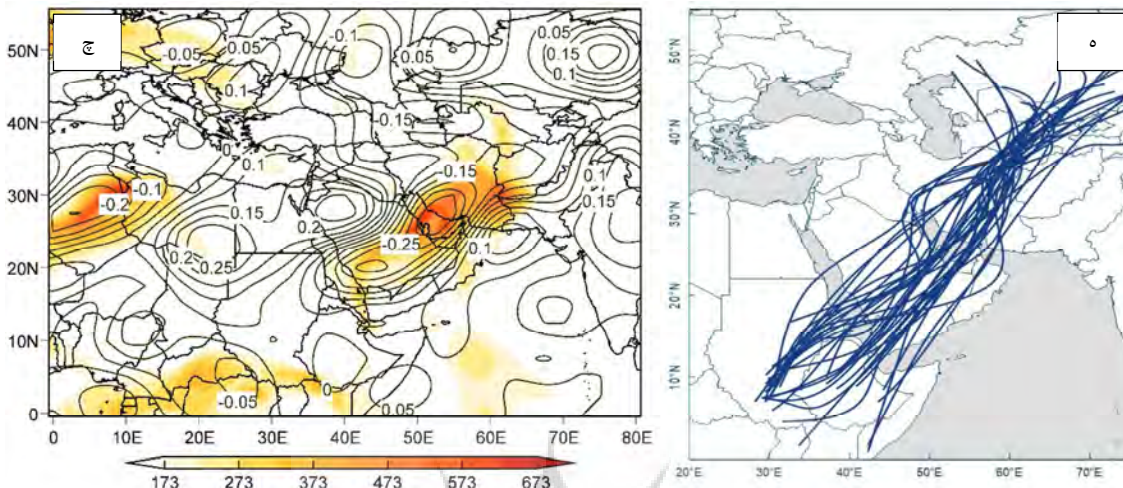
نتایج تحلیل الگوهای همیدیدی بر اساس مؤلفه‌های مبنای نشان داد درمجموع ۱۰ عامل بیش از ۹۰ درصد واریانس (پراش) را تبیین کرده‌اند. این درحالی است که ۳ عامل اول نزدیک به ۷۰ درصد پراش کل را توجیه کرده‌اند و سایر عامل‌ها هر کدام بین ۲ تا ۵ درصد پراش مجموع داده‌ها را تبیین کرده‌اند؛ بنابراین تاریخ‌های مستخرج از ضرایب یادشده در میان عوامل اصلی (الگوهای غالب گردشی رودخانه‌های جوی مرتبط با بارش سنگین) تحلیل شد:

#### الگوی ترکیبی کم‌فشار سودان – چرخند انتقالی شرق اروپا (الگوی نماینده ۲۰ مارس ۲۰۱۷)

این رودخانه جوی از روی دریای سرخ شکل گرفته و از جنوب وارد ایران شده است (شکل ۱ الف). این پدیده در ۱۱ گام ۶ ساعته تداوم داشته و اوج شدت شار بخارآب در این روز مربوط به ساعت (۰۰:۰۰ به وقت هماهنگ جهانی) با بزرگی بیش از ۷۲۵ کیلوگرم متر بر ثانیه بوده است. درمجموع ۵۶ ایستگاه همیدید دارای بارش سنگین بوده‌اند که از بین آن‌ها ۲۴ ایستگاه در محدوده گسترش رودخانه جوی قرار داشته است. شکل ۱ (ب) الگوی بارشی این روز را نشان می‌دهد. بالاترین بارش به میزان ۸۱ میلی‌متر در ایستگاه بافت (کرمان) به وقوع پیوسته است.

شکل‌های ۱ (پ، ت، ث) الگوی همیدیدی نماینده این‌گونه رودخانه‌های جوی را نشان می‌دهد. در تراز زیرین وردسپهر زبانه کم‌فشار گسترده‌ای با راستای جنوب غربی- شمال شرقی از روی کشور سودان شروع شده و در ادامه تا شمال شرق ایران امتداد یافته است. این زبانه در شمال شرق با چرخند انتقالی از شرق اروپا یکپارچه شده است.





شکل ۱ (الف) رودخانه جوی شکل گرفته بر فراز ایران در تاریخ ۲۰ مارس ۲۰۱۷ ساعت ۰۶ جهانی با واحد کیلوگرم متر بر ثانیه. ب) الگوی پارش روزانه. پ) نقشه ترکیبی نم ویژه (کیلوگرم بر کیلوگرم) جریان و ارتفاع ژئوپتانسیل تراز ۱۰۰۰ (ت) ۸۵۰ (ث) ۷۰۰ هکتوپاسکال. ج) نقشه ترکیبی امگای تراز ۷۰۰ و نم ویژه تراز ۸۵۰ هکتوپاسکال. (ج) نقشه ترکیبی امگای تراز ۵۰۰ هکتوپاسکال و رودخانه جوی. ه) موقعیت محورهای کم‌شار سودان بر اساس الگوی اول.

همان طور که دیده می‌شود در این الگو سامانه سودانی از سمت شرق در هم‌جواری یک سامانه واچرخندی قوی که بر روی آبهای گرم عمان و عرب قرار دارد. این سامانه که در شرق شبکه جزیره عربستان قرار دارد با فرارفت گرم و مرتبط از روی آبهای گرم انرژی ترمودینامیکی لازم را برای تقویت سامانه سودانی فراهم کرده است.

همزمان با این سامانه، سامانه واچرخندی آفریقا در این تراز از جو بر روی غرب مصر و لیبی قرار دارد. استقرار این سامانه در این موقعیت جغرافیایی علاوه بر اینکه باعث جابجایی شرق سوی سامانه سودانی شده است. با فرارفت سرد از عرض‌های جنوب حاره سبب افزایش شیو حرارتی در دامنه غربی سودان و تقویت دینامیکی این سامانه گردیده است. نقشه ترکیبی جریان و نم ویژه در تراز ۱۰۰۰ هکتوپاسکال به خوبی این پدیده را نشان می‌دهد.

در تراز ۸۵۰ و ۷۰۰ هکتوپاسکال دو ناوه عمیق در عرض‌های جنوب حاره و جنوب قطبی دیده می‌شود. ناوه جنوب قطبی با راستای شمال غربی-جنوب شرقی تا ساحل جنوب شرقی دریای مازندران امتداد می‌یابد. در این ترازها واچرخند عربستان در مناسب‌ترین موقعیت خود بر روی آبهای گرم عمان و عرب قرار دارد. ناوه جنوب‌حاره‌ای با راستای شمال شرقی-جنوب غربی از شمال شرق ایران شروع شده و تا دریای سرخ و شرق مصر گسترش داشته است. شکل ۱ (ت و ث) جریان فرارفت رطوبت را به جلو ناوه نشان می‌دهد. گسترش شمال سوی واچرخند آفریقایی و تقویت آن طی روزهای گذشته که ارتفاع ژئوپتانسیل آن حدود ۴۰ تا ۵۰ ژئوپتانسیل متر افزایش نشان می‌دهد سبب بلوکه شدن ناوه جنوبی‌تر گردیده است. به همین دلیل انتهای ناوه به سمت عقب (غرب) برگشت پیدا کرده است. جریان‌های ترازهای ۸۵۰ و ۷۰۰ به خوبی فرارفت سرد جنوب قطبی را به دامنه غربی ناوه و فرارفت رطوبتی را به جلو ناوه نشان می‌دهد. همان‌طور که دیده می‌شود در این الگو دریاهای گرم عرب و عمان در ترازهای زیرین وردسپهر (زیر تراز ۸۵۰ هکتوپاسکال) مهم‌ترین نقش را در تأمین رطوبت رودخانه‌های جوی ورودی به منطقه دارند. ولی از تراز

۷۰۰ هکتوپاسکال بشدت از نقش رطوبت فرستی این دریاها کم شده و بر عکس بر سهم رطوبت انتقالی از منطقه همگرایی حاره‌ای افزوده می‌شود.

شکل ۱ (ه) محور زبانه‌های کم‌فشار سودانی را در الگوی ترکیبی سودان و چرخند اروپایی نشان می‌دهد. همان‌طور که دیده می‌شود در این الگو به دلیل ترکیب دو سامانه، زبانه‌ها عموماً طویل بوده و تا کشورهای آسیای میانه نیز امتداد می‌یابند. منشأ اولیه این سامانه‌ها از روی سودان می‌باشد. در این الگوها به دلیل حرکت جنوب و شرق سوی قابل توجه و اچرخند عربستان، سامانه‌ها از بخش جنوبی و مرکزی دریای سرخ عبور کرده و عموماً از جنوب میانی وارد ایران شدند و بخش‌های گسترده‌ای از ایران را تحت تأثیر قرار می‌دهند.

شکل ۱ (ج، چ) نقشه ترکیبی نم ویژه ۸۵۰ و امگای ترازهای ۷۰۰ همچنین رودخانه جوی به همراه امگای تراز ۵۰۰ هکتوپاسکال را نشان می‌دهد. همان‌طور که دیده می‌شود میدان امگای منفی درست بر منطقه با نم ویژه بالا و منطقه شدیدترین بارش منطبق است و بزرگی این جریان‌ها به  $0/25 - 0/35$  پاسکال بر ثانیه رسیده است. به این ترتیب علاوه بر فرارفت رطوبتی مناسب به رودخانه‌های جوی انطباق بسیار مناسب جریان‌های افقی و بالاسوی (شار افقی و قائم) مهم‌ترین نقش را در ایجاد بارش‌های سنگین ایفا می‌کنند.

#### الگوی ترکیبی سودان- مدیترانه (نماینده الگو سامانه ۷ دسامبر ۲۰۰۹)

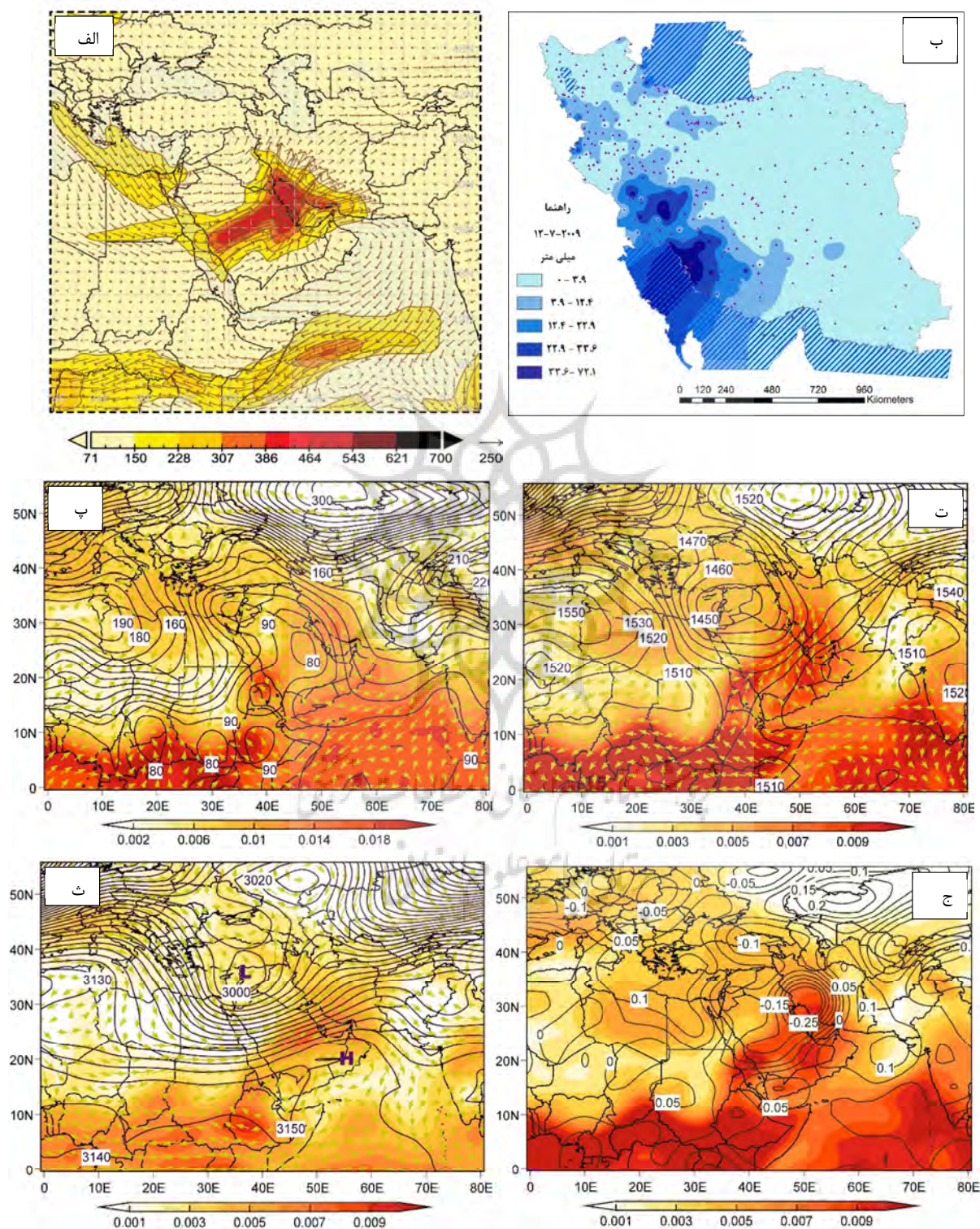
منشأ اولیه این رودخانه خلیج عدن - دریای سرخ هست و محور اصلی آن بر اساس ماکزیمم شار، از جنوب (استان بوشهر) وارد کشور می‌شود. شکل ۲ (الف، ب) رودخانه جوی در ساعت اوج (۰۶ جهانی) به همراه پهنه بارشی این روز را نشان می‌دهد. در این تاریخ ۲۰ ایستگاه هم‌دید با بارش سنگین همراه بوده‌اند که تمام آن‌ها در محدوده گسترش رودخانه جوی بوده است و بالاترین بارش به میزان ۷۳ میلی‌متر در جزیره خارک (استان بوشهر) روی‌داده است.

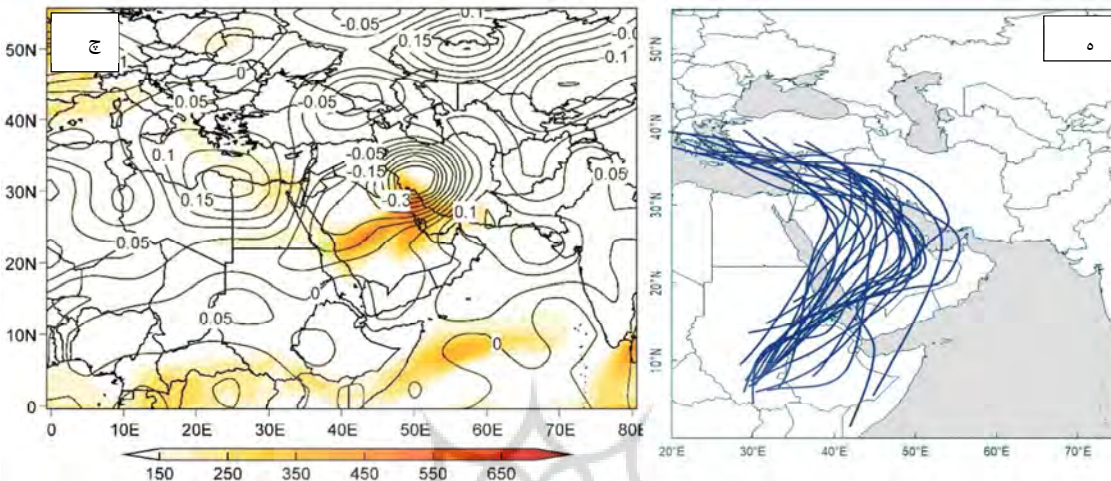
شکل ۲ (پ) نماینده الگوی حاکم در تراز ۱۰۰۰ هکتوپاسکال هست. این نقشه ترکیبی از ارتفاع ژئوپتانسیل، نم ویژه و جریان‌ها را در تراز ۱۰۰۰ هکتوپاسکال نشان می‌دهد. همان‌طور که مشاهده می‌شود میدان چرخندی گسترده‌ای از سودان تا شرق دریای مدیترانه را در برگرفته است. نفوذ جنوب‌سوی زبانه و اچرخندی سیبری بر روی دریای عمان و عرب با گردش و اچرخندی سبب فرارفت رطوبتی دریاها گرم جنوبی به درون کم‌فشار سودانی شده است. به این ترتیب دریاها عرب و عمان منشأ اصلی تأمین رطوبت رودخانه جوی هست. این رطوبت فرارفت شده به تدریج بر روی دریای سرخ و خلیج عدن قوام پیدا کرده و رودخانه جوی شکل می‌گیرد. در این الگو به دلیل عملکرد همزمان دو سامانه سودانی و مدیترانه‌ای در لایه زیرین وردسپهر میدان چرخندی گسترده‌ای تمام محدوده سودان، غرب عربستان، غرب ایران تا مدیترانه شرقی را دربرمی‌گیرد. همان‌طور که در شکل ۲ (ه) دیده می‌شود زبانه چرخندی در تمام نمونه‌های متأثر از این الگو ابتدا با محور جنوب غربی - شمال شرقی از روی سودان تا جنوب عراق و اردن امتدادیافته و سپس کاملاً با چرخش به سمت شمال غرب تا ساحل شرقی مدیترانه امتدادیافته است. حدود ۲۵ مورد از رودخانه‌های جوی منجر به بارش‌های سنگین از الگویی مشابه تبعیت کرده‌اند.

در تراز ۸۵۰ هکتوپاسکال به عنوان نماینده تراز لایه مرزی مرکز چرخندی با منحنی پربندی ۱۴۵۰ ژئوپتانسیل متر بر روی ساحل شرقی دریای مدیترانه استقرار دارد. ناوه حاصل از این مرکز چرخندی با گسترش جنوب‌سوی خود تا

جنوب عربستان گسترش دارد. همان‌طور که دیده می‌شود. در این تراز نیز زبانه واچرخندی سیبری همچنان با گسترش جنوب سو تمام پهنه دریاهای گرم عمان و عرب را تا خلیج عدن فراگرفته است.







شکل ۲ (الف) رودخانه جوی شکل‌گرفته بر فراز ایران در تاریخ ۷ دسامبر ۲۰۰۹ ساعت ۱۲ جهانی با واحد کیلوگرم متر بر ثانیه. (ب) الگوی بارش روزانه. (پ) نقشه ترکیبی نم ویژه (کیلوگرم بر کیلوگرم) جریان و ارتفاع ژئوپتانسیل تراز ۱۰۰۰ ت (ت) ۸۵۰ ت (ث) ۷۰۰ هکتوپاسکال. (ج) نقشه ترکیبی امگای تراز ۷۰۰ و نم ویژه تراز ۸۵۰ هکتوپاسکال. (چ) نقشه ترکیبی امگای تراز ۵۰۰ هکتوپاسکال و رودخانه جوی. (ه) موقعیت محورهای کم‌فشار سودان بر اساس الگوی دوم.

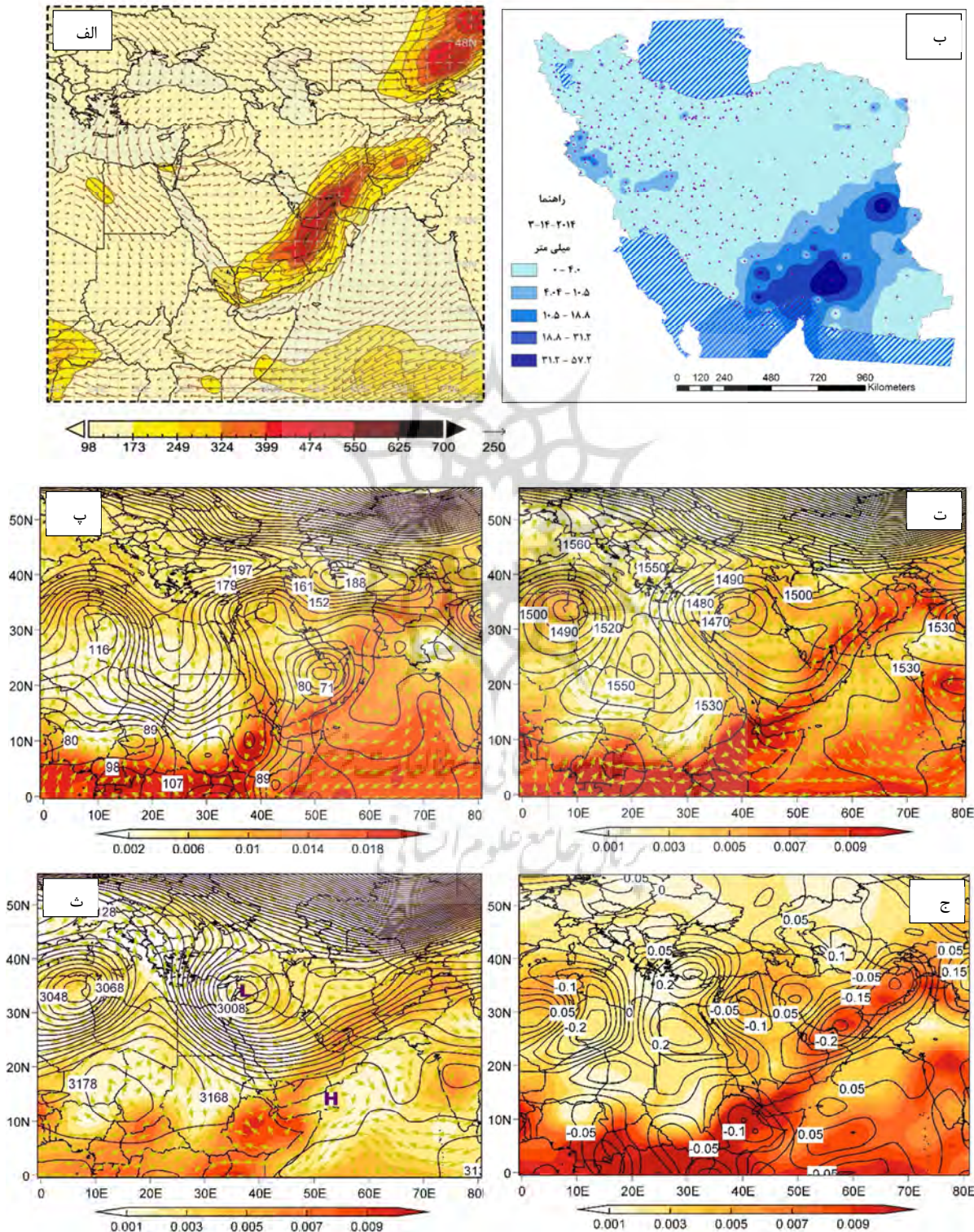
نقشه جریان به خوبی فرارفت گرم و مرطوب را به جلو ناوه نشان می‌دهد. با دور شدن از تأثیر عوارض توپوگرافی و انتقال راحت‌تر رطوبت فرارفتی از روی دریاهای گرم، زبانه رطوبتی به خوبی در جلو ناوه شکل‌گرفته است. همان‌طور که دیده می‌شود دریاهای عرب و عمان نقش مهمی در تأمین رطوبت رودخانه‌های جوی تا تراز ۸۵۰ هکتوپاسکال دارند (شکل ۲ ت).

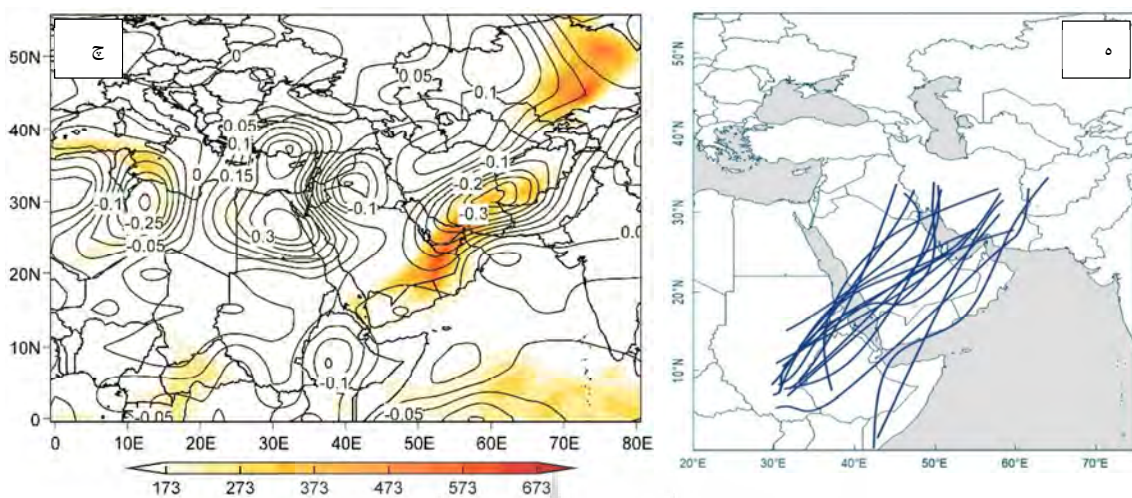
در تراز ۷۰۰ هکتوپاسکال (شکل ۲ ت) نیز مرکز چرخنده با جابه‌جایی جنوب سو تا جنوب سوریه گسترش داشته است. این مرکز سرد چال با گسترش جنوب‌سو و فرارفت توپوگرافی شیو دمایی شدیدی را بر روی غرب عربستان و جنوب غرب و غرب ایران ایجاد کرده است. همان‌طور که مشاهده می‌شود در این تراز با توجه به ساختار دینامیکی حاکم به تدریج نقش رطوبتی دریاهای عرب و عمان کاهش یافته ولی رطوبت فرارفتی از منطقه همگرایی نقش مهم‌تری پیدا کرده است.

همان‌طور که شکل ۲ (ج) نقشه ترکیبی امگا تراز ۷۰۰ و نم ویژه تراز ۸۵۰ هکتوپاسکال دیده می‌شود، میدان گستردگی از امگای منفی تمام پنهان شبه‌جزیره عربستان و جنوب غرب و غرب ایران را در برگرفته است. بالاترین مقدار امگای منفی به بزرگی  $-0.28$  پاسکال بر ثانیه درست بر روی استان‌های خوزستان و بوشهر قرار دارد. انطباق بسیار خوب میدان امگای منفی یا جریان‌های بالاسوی با میدان رطوبتی بر روی جنوب غرب ایران به خوبی نقش جریان‌های بالاسوی قوی را در تشدید میان درون جریان‌ها و رشد قطره‌های درون سامانه نشان می‌دهد. درنتیجه بالاترین حجم بارشی منطبق با بزرگی امگای منفی هست. در نقشه تراز ۵۰۰ هکتوپاسکال (شکل ۲ ج، چ) میدان

امگای منفی انطباق کاملی با میدان امگای تراز ۷۰۰ هکتوپاسکال دارد. ولی بزرگی میدان امگا در هسته آن به بیش از ۳۲-۰ پاسکال بر ثانیه افزایش یافته است. این پدیده بیانگر تشدید جریان‌های بالاسو در لایه زیرین می‌باشد.







شکل ۳ (الف) رودخانه جوی شکل‌گرفته بر فراز ایران در تاریخ ۱۴ مارس ۲۰۱۴ ساعت ۰۰ جهانی با واحد کیلوگرم متر بر ثانیه. ب) الگوی بارش روزانه. پ) نقشه ترکیبی نم ویژه (کیلوگرم بر کیلوگرم) جریان و ارتفاع ژوپیناسیل تراز ۱۰۰۰ (ث) ۸۵۰ هکتوپاسکال. (ج) نقشه ترکیبی امگای تراز ۷۰۰ و نم ویژه تراز ۸۵۰ هکتوپاسکال. (ه) نقشه ترکیبی امگای تراز ۵۰۰ هکتوپاسکال و رودخانه جوی. (ه) موقعیت محورهای کم‌فشار سودان بر اساس الگوی سوم.

#### سودان- واچرخند مهاجر (الگوی نماینده ۱۴ مارس ۲۰۱۴)

در این الگوی نماینده، رودخانه جوی از روی جنوب دریای سرخ شکل‌گرفته است (شکل ۳ الف). محور اصلی آن از جنوب (تنگه هرمز) وارد ایران شده است و در امتداد جنوب غربی - شمال شرقی پس از متأثر ساختن نواحی جنوبی و جنوب شرقی و شرقی کشور تا کشور افغانستان ادامه یافته است. الگوی بارشی این روز در شکل ۳ (ب) نشان داده شده است. در این رخداد مجموعاً ده ایستگاه همدید دارای بارش سنگین بوده‌اند که هر ده ایستگاه در محدوده گسترش رودخانه جوی بوده‌اند. بالاترین میزان بارش  $\frac{57}{3}$  میلی‌متر در کهنوج (کرمان) رخداده است.

الگوی ترکیبی نم ویژه و ارتفاع ژوپیناسیل تراز ۱۰۰۰ هکتوپاسکال (شکل ۳ پ) نشان می‌دهد که در این الگو نیز گسترش زبانه واچرخند سیری بر روی آبهای عمان و عرب و تزریق هوای گرم و مرطوب به درون سامانه سودانی در ضلع شرقی، موجب فعل شدن این سامانه ترمودینامیکی تا عرض‌های بالاتر شده است. مسیر این کم‌فشار کاملاً با مسیر شکل‌گیری رودخانه جوی منطبق است و زبانه آن تقریباً در جهت جنوب به شمال پس از عبور از روی شاخ آفریقا - یمن و شبه‌جزیره عربستان از روی تنگه هرمز وارد ایران شده است؛ اما مهم‌ترین تفاوت با الگوهای قبل حضور زبانه‌های واچرخند مهاجر است که نیمه شمالی کشور را تحت تأثیر قرار داده است. مکانیسم حاکم بر این واچرخند موجب شده تا زبانه‌ی کم‌فشار سودان نتواند تا بالاتر از عرض جغرافیایی ۳۲ درجه شمالی نفوذ کند؛ بنابراین گسترش شمال سوی رودخانه جوی نیز به‌همین عرض جغرافیایی محدود شده است. در این الگو دریای سرخ کاملاً در پشت سامانه کم‌فشار موردن فرارفت سرد قرار گرفته و منابع رطوبتی رودخانه جوی در این لایه از دریای عمان- عرب تأمین می‌شود که به‌وسیله جریان‌های جنوبی سامانه کم‌فشار به درون رودخانه جوی فرارفت شده است.

شکل ۳ (۵) محور کم‌فشار مؤثر در شکل‌گیری سایر رودخانه‌های جوی را که منطبق بر این الگو بودند نشان می‌دهد. همان‌طور که مشاهده می‌شود نیمه‌ی شمالی کشور در این الگو تحت تأثیر زبانه چرخدنی و رودخانه‌های جوی قرار نگرفته است.

در تراز ۸۵۰ هکتوپاسکال (شکل ۳ ت) مرکز چرخدنی به سمت هوای سرد و شمال غرب متمایل شده است و زبانه‌های آن تا عرض جغرافیایی ۱۵ درجه شمالی نفوذ کرده و تمام گستره کشور را پوشش داده‌اند. واچرخدن سیبری موقعیت خود را بر روی آب‌ها حفظ کرده است و فرارفت رطوبت به مانند لایه زیرین از طریق جریان‌های جنوبی زبانه چرخدنی صورت می‌گیرد.

در تراز ۷۰۰ (شکل ۳ ث) ناوه حاصل از مرکز چرخدنی تا عرض ۱۵ درجه شمالی گسترش یافته است. محور ناوه با جهت شمال غربی-جنوب شرقی از ساحل شرقی مدیترانه تا یمن امتداد یافته است؛ بنابراین دریای مدیترانه و سرخ در پشت ناوه و تحت تأثیر فرارفت سرد قرار گرفته‌اند و جریان اصلی رطوبت در این لایه از منطقه همگرایی حراره‌ای توسط جریان‌های جنوبی واچرخدن عربستان و جلوی ناوه به دورن رودخانه جوی صورت گرفته است. شکل ۳ (ج) ترکیب نم ویژه تراز ۸۵۰ و امگای تراز ۷۰۰ هکتوپاسکال را نشان می‌دهد. میدان بزرگی از امگای منفی منطبق با جریان رطوبت گسترش یافته در امتداد حرکت‌های چرخدنی است و بزرگی آن به میزان  $-0/25$  پاسکال متر بر ثانیه می‌رسد. جریان‌های بالاسو در تراز ۵۰۰ هکتوپاسکال به‌طور کامل با جریان رودخانه جوی منطبق بوده (شکل ۳ ج) و بزرگی این واگرایی در تراز ۵۰۰ هکتوپاسکال به  $-0/3$  پاسکال بر ثانیه در شمال تنگه هرمز تا شمال سیستان و بلوچستان نشان‌دهنده تشدید واگرایی در لایه زیرین و افزایش انرژی سیستم هست. مرکز واگرایی در دو تراز ۷۰۰ و ۵۰۰ با بالاترین بارش‌های رخداده در این روز مطابقت داشته است.

## نتیجه‌گیری

کشور ایران همواره از منابع محدود آبی رنج می‌برد و در عین حال به‌شدت تحت تأثیر نوسان‌های اقلیمی قرار دارد. بارش‌های سنگین اگرچه می‌تواند فرصتی برای تأمین بخشی از منابع آبی کشور باشد، به‌دلیل عدم مدیریت صحیح، نبود زیرساخت‌های مناسب، تخریب سالانه پوشش گیاهی و تغییرهای کاربری نامناسب در اغلب موارد منجر ایجاد سیلاب و خسارت‌های بسیار زیاد در ابعاد گسترده می‌شود؛ بنابراین شناسایی علل وقوع این رخدادها و مکانیسم گردشی آن‌ها گامی در جهت پیش‌آگاهی و کنترل این‌گونه حوادث خواهد بود. این مطالعه شرایط همدیدی و ترمودینامیکی پدیده رودخانه جوی منجر به بارش‌های سنگین در دوره سرد و بارشی کشور را بررسی کرد. به این منظور از داده‌های یکپارچه‌شده شار قائم بخارآب استفاده شد. برای هرماه به‌طور مشخص آستانه‌ای تعیین شد تا این پدیده را از شارش‌هایی که به‌طور معمول در جو رخ می‌دهد تفکیک کند. سپس مسیرهایی متمرکز از بخارآب که طولی بیش از ۲۰۰۰ هزار کیلومتر داشتند و نسبت طول به عرض آن‌ها بیشتر از ۲ بود، در صورتی که از مزهای ایران عبور کرده بودند به عنوان رودخانه جوی شناخته شدند.

برای ۳۴۰ ایستگاه همدید گسترده در سراسر کشور با محاسبه صدک ۹۰ هر ایستگاه معیاری برای بارش سنگین به‌دست آمد و تمام رودخانه‌های جوی شناسایی شده با بارش روزانه ایستگاهی موردمقایسه قرار گرفت. رودخانه‌های

که منجر به بارش سنگین شده بودند تفکیک شدند و درنهایت مشخص شد ۱۰۷ روز رخداد بارش سنگین در حضور رودخانه‌های جوی و زیر چتر گسترش آن‌ها به وقوع پیوسته است. در مرحله بعد بهمنظور تعیین تیپ الگوی گردشی این روزها، حجم داده‌ها از طریق تحلیل عامل‌ها کاهش یافت. نتایج نشان داد ۳ عامل اول نزدیک به ۷۰ درصد پراش کل داده‌ها را تبیین می‌کند. از میان هر عامل تاریخ‌هایی به عنوان نماینده هر الگو که ضریب تبیین بالاتر از ۸۵٪ داشتند، انتخاب شدند.

به طور مشترک در لایه‌های زیرین برای هر سه الگو برهمنکنش سامانه واچرخندی سیبری و چرخندی سودان مشخص بود. به گونه‌ای که با نفوذ واچرخند سیبری تا عرض‌های پایین‌تر بر روی دریای عمان و عرب و گردش واچرخندی سبب فرارفت رطوبتی دریاهای گرم جنوبی به درون کم‌شار سودانی شده است. تفاوت الگوها متأثر از نحوه گسترش سامانه چرخندی بر روی کشور بوده است. در الگوی اول که حدود ۳۳ درصد رودخانه‌ها نزدیک به این شرایط شکل گرفتند سامانه چرخندی سودان با زبانه‌ای انتقالی از شرق اروپا ادغام شدند که در این صورت نواحی گستردگی از کشور از جنوب تا شمال و شمال شرق تحت تأثیر گسترش رودخانه جوی قرار گرفتند و محور کم‌شار اغلب تا آسیای میانه گسترش یافته است. این الگو فراوان‌ترین تیپ گردشی به‌هنگام حضور رودخانه‌های منجر به بارش سنگین در کشور بوده است. در الگوی دوم سامانه چرخندی سودان و مدیترانه ادغام شده‌اند که بیش از ۲۳ درصد رودخانه‌های جوی را شامل می‌شود. در این الگو بیشتر نواحی جنوب غربی و غربی کشور تحت تأثیر رودخانه جوی قرار گرفتند. در الگوی سوم به‌دلیل نفوذ زبانه‌ی واچرخند مهاجر بر روی کشور به صورت مداری، سامانه چرخندی نتوانسته به بالاتر از عرض جغرافیایی ۳۲ درجه جغرافیایی در داخل کشور برسد؛ بنابراین نواحی شمالی از بارش‌های سنگین تحت شرایط این الگو کمتر متأثر شدند. ۱۳ درصد رودخانه‌های جوی الگویی تقریباً مشابه داشتند. سایر الگوها بین ۲ تا ۵ درصد پراش مجموع را تبیین کردند که به‌دلیل محدودیت در پرداختن به هریک از این عوامل از ارائه آن‌ها صرف نظر شد.

در مجموع برای تمام الگوها در لایه‌های زیرین چرخند سودانی به عنوان یک سامانه ترمودینامیکی مؤثرترین سامانه در جذب و حمل رطوبت به درون رودخانه جوی بوده است. واچرخند سیبری تا عرض‌های جغرافیایی پایین بر روی آب‌های گرم جنوبی گسترش داشته است و مهم‌ترین منابع رطوبتی در ترازهای پایینی (تا ۸۵۰ هکتوپاسکال) دریای عمان- عرب بوده است. رطوبت پس از فرارفت شدن به تدریج بر روی خلیج عدن و نیمه جنوبی دریای سرخ متمرکز می‌شود و میزان نم ویژه در این لایه‌ها به اندازه ۱۸ تا ۲۰ گرم در کیلوگرم نیز رسیده است. منشاً رطوبت به رودخانه‌های جوی در لایه‌های بالاتر تغییر می‌کند و به تدریج نقش رطوبتی دریاهای عرب و عمان کاهش یافته ولی رطوبت فرارفتی از منطقه همگرایی اهمیت می‌یابد. با توجه به ساختار دینامیکی در این ترازها رطوبت از طریق گردش جلوی ناوه به درون رودخانه جوی انتقال یافته است.

از نظر حرکت‌های قائم، نتایج این تحقیق نشان داد میدان واگرایی یا امگای منفی در تمام الگوها به‌طور کامل بر شکل رودخانه جوی منطبق بوده و با نزدیک شدن به هسته شار شدت واگرایی‌ها نیز افزایش یافته است. علاوه بر آن بیشترین حجم بارشی نیز منطبق با بالاترین میدان واگرایی بود. میزان امگای منفی به ترتیب از ترازهای ۷۰۰ به ۵۰۰ هکتوپاسکال افزایش یافته که نشان‌دهنده قدرت سامانه در تشدید جریان‌های بالاسو و افزایش قطره‌های رطوبتی

است. به این ترتیب علاوه بر فرارفت رطوبتی مناسب انطباق بسیار مناسب جریان‌های افقی و بالاسوی (شار افقی و قائم) مهم‌ترین نقش را در ایجاد بارش‌های سنگین ایفا می‌کند.

این مطالعه برای اولین بار مشخص کرد بارش‌های سنگینی که توسط رودخانه‌های جوی در ایران به وقوع پیوسته‌اند توسط چه الگوهایی فراهم شده‌اند و سهم رخداد هریک از این الگوها چه اندازه است. منابع رطوبتی مهم و سامانه‌های تأثیرگذار در شکل‌گیری رودخانه‌های جوی نیز در این مطالعه آشکار شدند. نتایج این مطالعه در تایید با مطالعات لشکری و همکاران ۱۳۹۱، مزیدی و همکاران ۱۳۹۱، امیدوار و ترکی ۱۳۹۱، اکبری و سیاه منصور ۱۳۹۳، مصطفایی و همکاران ۱۳۹۴، لشکری و همکاران ۱۳۹۵، راستگو و سعادت آبادی ۱۳۹۷، احمدی و جعفری ۱۳۹۷ در خصوص نقش سامانه سودان و ادغامی سودان- مدیترانه در شکل‌گیری بارش‌های سنگین و فراغیر، همین‌طور مطالعات امیدوار و همکاران ۱۳۹۶ در ارتباط با الگوی کم‌فشار سودان- واچرخند مهاجر در رخداد بارش‌های سنگین و سیلابی و مطالعات کریمی و فرج زاده ۱۳۹۰، دارند ۱۳۹۴، روشی و پرک ۱۳۹۷، محمدی و لشکری ۱۳۹۷ در ارتباط با اهمیت منابع رطوبتی دریای عرب و عمان بر بارش‌های ایران بود.

در انتهای شناسایی و تفکیک الگوهای همدیدی با توجه به منشأ شکل‌گیری رودخانه‌های جوی و یا مناطق بارشی متأثر از آن‌ها برای مطالعات آینده به محققان پیشنهاد می‌شود.

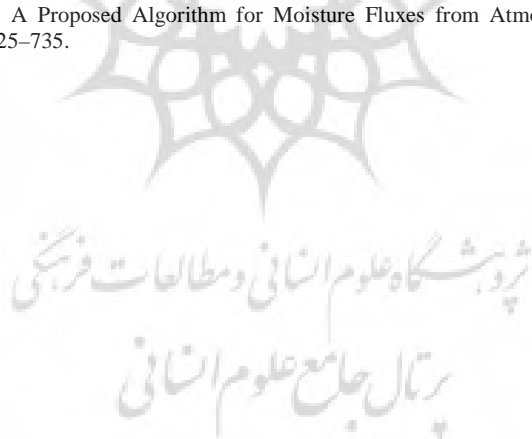
## منابع

- احمدی محمود؛ جعفری فرزانه (۱۳۹۷). مسیریابی کامل و تحلیل سینوپتیک یک نمونه مطالعاتی از سامانه‌های منجر به بارش‌های سنگین بیش از ۵۰ میلی‌متر در جنوب ایران، نشریه تحلیل فضایی مخاطرات محیطی، سال پنجم، شماره ۳. صص ۱۰۲-۸۳.
- اکبری زینب؛ نصیری فرنار؛ سیاه منصور مجتبی (۱۳۹۳). تحلیل الگوهای سینوپتیکی و شاخص‌های ناپایداری منجر به وقوع بارش‌های نیمه‌سنگین و سنگین استان لرستان، اولین همایش علوم جغرافیایی ایران (۳۰ اردیبهشت)، تهران، موسسه جغرافیا.
- امیدوار کمال؛ ترکی مسلم (۱۳۹۱). شناسایی الگوهای ریزش بارش‌های سنگین در استان چهارمحال و بختیاری، برنامه‌ریزی آمایش و فضا، شماره ۴. صص ۱۶۹-۱۳۵.
- امیدوار کمال؛ شفیعی شهاب؛ سپندار نساء (۱۳۹۶). تحلیل سینوپتیک و ترمودینامیک بارش سنگین و سیلابی روزهای ۵ تا ۸ آبان ۱۳۹۴ در استان کرمانشاه، فصلنامه علمی پژوهشی اطلاعات جغرافیایی (سپهر)، شماره ۱۰۷. صص ۲۵۲-۲۳۷.
- دارند محمد (۱۳۹۴). تحلیل همدیدی بارش‌های سیل‌آسای کردستان. نشریه تحقیقات کاربردی علوم جغرافیایی، شماره ۳۷. صص ۴۷-۷۰.
- راستگو زهرا؛ رنجبر سعادت آبادی عباس (۱۳۹۷). مطالعه بارش‌های شدید و حدی استان بوشهر از دیدگاه همدیدی- دینامیکی، نشریه هواشناسی و علوم جو، شماره ۱. صص ۹۶-۷۷.
- روشنی احمد؛ پرک فاطمه (۱۳۹۷). تحلیل و آگرایی شار رطوبت از منابع رطوبتی اطراف ایران و اثرات آن بر توزیع فضایی نابرابر بارش در نیمه جنوبی کشور، نشریه هواشناسی و علوم جو، شماره ۱. صص ۳۸-۲۵.
- علیجانی بهلول (۱۳۹۰). تحلیل فضایی دماها و بارش‌های بحرانی روزانه در ایران. نشریه تحقیقات کاربردی علوم جغرافیایی، شماره ۲۰. صص ۳۰-۹.
- سلیمی سعدون؛ سلیقه محمد (۱۳۹۵). تأثیر رودخانه‌های اتمسفری (ARS) بر آب‌وهوای ایران. پژوهش‌های جغرافیای طبیعی، شماره ۴۸. صص ۲۶۴-۲۴۷.

- شادمانی ناهید (۱۳۹۵). بررسی وجود و نقش رودخانه‌های جوی در ایجاد بارش‌های سیل‌آسا در غرب و جنوب کشور (مطالعه موردی: سیل‌های ۹ و ۲۱ آبان ۱۳۹۴). پایان‌نامه کارشناسی ارشد وزارت علوم تحقیقات و فناوری، دانشکده کشاورزی و منابع طبیعی، دانشگاه شهرکرد.
- کریمی مصطفی؛ فرج زاده منوچهر (۱۳۹۰). شار رطوبت و الگوهای فضایی- زمانی منابع تأمین رطوبت بارش‌های ایران، تحقیقات کاربردی علوم جغرافیایی، شماره ۲۲. صص ۱۲۸-۱۰۹.
- لشکری حسن؛ قائمی هوشنگ؛ حاجتی زهرا؛ امینی میترا (۱۳۹۱). تحلیل سینوپتیکی بارش‌های شدید در استان اصفهان، پژوهش‌های جغرافیای طبیعی، شماره ۴. صص ۱۱۶-۹۹.
- لشکری حسن؛ متکان علی‌اکبر؛ آزادی مجید؛ محمدی زینب (۱۳۹۵). تحلیل همدیدی نقش پرفشار عربستان و روبداد جنوب‌حراء در کوتاه‌ترین طول دوره بارشی جنوب و جنوب غرب ایران، فصلنامه علوم محیطی، شماره ۴. صص ۷۴-۵۹.
- محمدی زینب؛ لشکری حسن (۱۳۹۷). نقش جابجایی مکانی پرفشار عربستان و روبداد جنوب‌حراء در الگوهای همدیدی و ترمودینامیکی تراسالی‌های شدید جنوب و جنوب غرب ایران، پژوهش‌های جغرافیای طبیعی، شماره ۳. صص ۵۰۹-۴۹۱.
- مزیدی احمد؛ کوشکی حسین؛ نصر آزادانی مهناز (۱۳۹۱). تحلیل سینوپتیکی بارش‌های بیش از ۳۰ میلی‌متر شهر خرم‌آباد از ۲۰۰۰ تا ۲۰۰۵، اندیشه جغرافیایی، شماره ۱۱. صص ۱۲۰-۱۰۷.
- مصطفایی حسن؛ علیجانی بهلوو؛ سلیقه محمد (۱۳۹۴). تحلیل سینوپتیکی بارش‌های شدید و فرگایر در ایران، نشریه تحلیل فضایی مخاطرات محیطی، شماره ۴. صص ۷۶-۶۵.

- Akbari, M., Salimi, S., Hosseini, S.A., & Hosseini, M., (2019), Spatio-temporal changes of atmospheric rivers in the Middle East and North Africa region, *Int J Climatol*, Vol. 39, pp. 3976–3986.
- Bao, J. S., Michelson, A., Neiman, P., Ralph, F., & Wilczak, J., (2006), Interpretation of Enhanced Integrated Water Vapor Bands Associated with Extratropical Cyclones: Their Formation and Connection to Tropical Moisture, *Monthly Weather Review*, Vol. 134, pp. 1063–1080.
- Blamey, RC., Ramos, AM., Trigo, RM., Tomé, R., Reason, CJC., (2018) The influence of atmospheric rivers over the South Atlantic on winter rainfall in South Africa, *Journal of Hydrometeorology*, Vol. 19. No. 1, pp. 127–142.
- Dettinger, MD., Ralph, FM., Das, T., Neiman, PJ., Cayan, DR., (2011), Atmospheric Rivers, Floods and the Water Resources of California, *Water*, Vol. 3, No. 2, pp. 445–478.
- Dettinger, M., (2011), Climate change, atmospheric rivers, and floods in California - a multimodel analysis of storm frequency and magnitude changes, *Journal of the American Water Resources Association*, Vol. 47, No. 3, pp. 514–523.
- Dettinger, MD., (2013), Atmospheric Rivers as Drought Busters on the U.S. West Coast, *Journal of Hydrometeorology*, Vol. 14, No. 6, pp. 1721–1732.
- Esfandiarri, N., Lashkari, H., (2020), Identifying atmospheric river events and their paths into Iran, *Theor Appl Climatol*, [Online].
- Espinosa, V., Waliser, DE., Guan, B., Lavers, DA., Ralph, FM., (2018), Global Analysis of Climate Change Projection Effects on Atmospheric Rivers, *Geophysical Research Letters*, Vol. 45, No. 9, pp. 4299–4308.
- Eiras-Barca, J., Lorenzo, N., Taboada, J., (2018), On the relationship between atmospheric rivers, weather types and floods in Galicia (NW Spain), *Nat Hazards Earth Syst Sci*, Vol. 18, pp. 1633–1645.
- Gimeno, L., Nieto, R., Vázquez, M., Lavers, DA., (2014) Atmospheric rivers: a mini-review, *Frontiers in Earth Science*, Vol. 2, (March), pp. 1–6.
- Guan, B., Molotch, NP., Waliser, DE., Fetzer, EJ., Neiman, PJ., (2010), Extreme snowfall events linked to atmospheric rivers and surface air temperature via satellite measurements, *Geophysical Research Letters*, Vol. 37, No. 20, pp. 2–7.
- Guan, B., Waliser, DE., (2015), Detection of atmospheric rivers: Evaluation and application of an algorithm for global studies, *Journal of Geophysical Research*, Vol. 120, No. 24, pp. 12,514-12,535.
- Groisman, PY., Knight, RW., Karl, TR., (2001) Heavy Precipitation and High Streamflow in the Contiguous United States: Trends in the Twentieth Century, *Bulletin of the American Meteorological Society*, Vol. 82, No. 2, pp. 219–246.
- Haylock, MR., Cawley, GC., Harpham, C., Wilby, RL., Goodess, CM., (2006) Downscaling heavy precipitation over the United Kingdom: a comparison of dynamical and statistical methods and their future scenarios, *International Journal of Climatology*, Vol. 26, No. 10, pp. 1397–1415.
- Junker, NW., Grumm, RH., Hart, R., Bosart, LF., Bell, KM., Pereira, FJ., (2008) Use of normalized anomaly fields to anticipate extreme rainfall in the mountains of northern California, *Weather and Forecasting*, Vol. 23, No. 3, pp. 336–356.
- Knippertz, P., Wernli, H., Gläser, G., (2013) A global climatology of tropical moisture exports, *Journal of Climate*, Vol. 26, No. 10, pp. 3031–3045.

- Lavers, DA., Villarini, G., Allan, RP., Wood, EF., Wade, AJ., (2012) The detection of atmospheric rivers in atmospheric reanalyses and their links to British winter floods and the large-scale climatic circulation. *Journal of Geophysical Research Atmospheres*, Vol. 117, No. 20, pp. 1–13.
- Lavers, DA., Villarini, G., (2013), The nexus between atmospheric rivers and extreme precipitation across Europe, *Geophysical Research Letters*, Vol. 40, No. 12, pp. 3259–3264.
- Lavers, DA., Villarini, G., (2015). The contribution of atmospheric rivers to precipitation in Europe and the United States, *Journal of Hydrology*, Vol. 522, No. 1, pp. 382–390.
- Nayak, MA., Villarini, G., Lavers, DA., (2014) On the skill of numerical weather prediction models to forecast atmospheric rivers over the central United States, *Geophysical Research Letters*, Vol. 41, No. 12, pp. 4354–4362.
- Neiman, PJ., Ralph, FM., Wick, GA., Lundquist, JD., Dettinger, MD., (2008) Meteorological Characteristics and Overland Precipitation Impacts of Atmospheric Rivers Affecting the West Coast of North America Based on Eight Years of SSM/I Satellite Observations, *Journal of Hydrometeorology*, Vol. , No. 1, pp. 22–47.
- Palman, H., Waliser, D., Lim, WH., Guan, B., Yamazaki, D., Pant, R., Dadson, S., (2017), Global Floods and Water Availability Driven by Atmospheric Rivers, *Geophysical Research Letters*, Vol. 44, No. 20, pp. 10,387-10,395.
- Ralph, FM., Neiman, PJ., Wick, GA., (2004), Satellite and CALJET Aircraft Observations of Atmospheric Rivers over the Eastern North Pacific Ocean during the Winter of 1997/98, *Monthly Weather Review*, Vol. 132, No. 7, pp. 1721–1745.
- Ralph, FM., Dettinger, MD., Cairns, MM., (2018), Defining “atmospheric river”: How the Glossary of Meteorology helped resolve a debate, *Bull Am Meteorol Soc*, Vol. 99, pp. 837–839.
- Ramos, AM., Trigo, RM., Liberato, MLR., Tomé, R., (2015), Daily Precipitation Extreme Events in the Iberian Peninsula and Its Association with Atmospheric Rivers, *Journal of Hydrometeorology*, Vol. 16, No. 2, pp. 579–597.
- Ryoo, J.M., Waliser, DE., Fetzer, EJ., (2011), Trajectory analysis on the origin of air mass and moisture associated with Atmospheric Rivers over the west coast of the United States, *Atmos Chem Phys Discuss*, Vol. 11, pp.11109–11142.
- Vitart, F., Waliser, DE., DeFlorio, MJ., Ralph, FM., Guan, B., Lavers, DA., (2018), Global Assessment of Atmospheric River Prediction Skill, *Journal of Hydrometeorology*, Vol. 19, No. 2, pp. 409–426.
- Waliser, D., Guan, B., (2017), Extreme winds and precipitation during landfall of atmospheric rivers, *Nature Geoscience*, Vol. 10, No. 3, pp. 179–183.
- Zhu, Y., Newell RE., (1998), A Proposed Algorithm for Moisture Fluxes from Atmospheric Rivers, *Monthly Weather Review*, Vol. 126, No. 3, pp. 725–735.



**Research Article**

# Synoptic and thermodynamic patterns of atmospheric rivers associated to heavy precipitation in the cold period of Iran

Hassan Lashkari<sup>1\*</sup>, Neda Esfandiari<sup>2</sup>

1\*. Associate Prof., Department of Physical Geography, School of Earth Science, Shahid Beheshti University (SBU), Tehran, Iran

2. PhD Student of Synoptic Climatology, Department of Physical Geography, School of Earth Science, Shahid Beheshti University (SBU), Tehran, Iran

Received: 02-04-2020

Final Revised: 05-05-2020

Accepted: 01-06-2020

## Abstract

The atmospheric river is an almost emerging phenomenon in the modern scientific literature of the world that has been studied due to its association with weather extreme events, especially heavy rainfall and floods. In this study, the integrated vertical vapour transport data were used to identify atmospheric rivers and the criteria were determined for its separation from daily fluxes. The 90th percentile of daily precipitation was then considered as the criterion for heavy precipitation across the country. Dates associated with heavy precipitation in the presence of atmospheric rivers were obtained, and its patterns were extracted by factor analysis after preparation of a 107×1190 matrix from 1000 level Geopotential height. The results showed that the first three factors account nearly about 70% of the total variance. Overall, Sudan's low-pressure system have an undeniable role in the formation of atmospheric rivers and heavy precipitation. In Sudan's low-pressure and the Mediterranean combination pattern, the most effect was on south-west and west of the country. Sudan's low-pressure and Eastern Europe cyclone combination pattern encompass the wider parts of the country. The influence of such systems on the country was more than other patterns. In the low-pressure combination pattern of Sudan and the migratory cyclone, the rivers and heavy precipitation zones did not much extend to the northern latitudes. In terms of formation, in all patterns, the Sudan low-pressure and the Siberian High Pressure were played a major role in the gradient generation and moisture transfer to the atmospheric rivers, in the low levels of the troposphere. The sources of moisture in these layers were the Oman-Arabian Sea.

**Keywords:** Synoptic pattern, Atmospheric rivers, Heavy precipitation, Iran.

\* Corresponding Author Email: h-lashkari@sbu.ac.ir

## References

### References (in Persian)

- Ahmadi, M., Jafari, F., (2018), Full routing and synoptic analysis A sample of studies of heavy rainfall systems in excess of 50 mm in southern Iran, *Jsaeh*, Vol. 5, No. 3, pp. 83-102. [In Persian]
- Akbary, z., Nasiri, F., Siahmansur, M., (2014), Analysis of synoptic patterns and instability indices caused heavy heavy rainfall in Lorestan province, First Iranian Geographical Sciences Conference (20 May), Tehran, Institute of Geography. [In Persian]
- Omidvar, K., Torki, M., (2012), Identification of heavy rainfall patterns in Chaharmahal va Bakhtiari province, *Journal of Spatial Planning*, No. 1, pp. 1-8. [In Persian]
- Omidvar, K., Sepandar, N., Shafiee, S., (2018), Synoptic and thermodynamic analysis of heavy precipitation in the Province of Kermanshah from October27 to 30, 2015, Vol. 27, No. 107, pp. 237-252. [In Persian]
- Darand, M., (2015), Synoptic analysis of heavy precipitations of Kurdistan province. *researches in Geographical Sciences*, Vol. 15, No. 37, pp. 47-70. [In Persian]
- Rastgoo, Z., Ranjbar Saadatabadi, A., (2018), Study of heavy and extreme rain in Bushehr province in term of synoptic-dynamic, *Journal of Meteorology and Atmospheric Science*, Vol. 1, No.1, pp. 77-96. [In Persian]
- Roshani, A., Parak, F., (2018), Divergence analysis of moisture flux originating from moisture sources around Iran and its effects on the unequal spatial distribution of precipitation in the southern part of Iran, *Journal of Meteorology and Atmospheric Science*, Vol. 1, No.1, pp. 25-38. [In Persian]
- Alijani, B., (2011), Spatial analysis of daily extreme temperatures and rains in Iran, *Journal of Applied Researches in Geographical Sciences*, No. 20, pp. 9-30. [In Persian]
- Salimi, S., Saligheh, M., (2016), The effect of Atmospheric Rivers on Iran climate, *Physical Geography Research Quarterly*, Vol. 48, No.96, pp. 247-264. [In Persian]
- Shademani, N., (2016), Investigating the Existence and Role of Atmospheric Rivers in Generating Flooding Rainfalls in the West and South of the Country Case Study: The Floods of October 31and November 12 in 2015, Master of Science Thesis, Ministry of Science and Technology, Faculty of Agriculture and Natural Resources, Shahrekord University. [In Persian]
- Karimi, M., Farajzadeh, M., (2012), Moisture Flux and Spatial -Temporal Patterns of Moisture Supply Resources in Precipitation of Iran, *Journal of Applied Researches in Geographical Sciences*, No. 22, pp. 109-128. [In Persian]
- Lashkari, H., Ghaemi, H., Hojati, Z., Amini, M., (2012), Synoptic Analysis of Heavy Precipitation in the Isfahan Province, *Physical Geography Research*, Vol. 44, No. 4, pp. 99-116. [In Persian]
- Lashkari, H., Matkan, A., Azadi, M., mohammadi, Z., (2017), Synoptic analysis of Arabian subtropical high pressure and subtropical jet Stream in shortest period of precipitation in South and South West of Iran, *Environmental Sciences*, Vol. 14, No. 4, pp. 59-74. [In Persian]
- Mohammadi, Z., Lashkari, H., (2018), Effects of Spatial Movement of Arabia Subtropical High Pressure and Subtropical Jet on Synoptic and Thermodynamic Patterns of Intense Wet Years in the South and South West Iran, *Physical Geography Research Quarterly*, Vol. 50, No. 105, pp. 491-509. [In Persian]
- Mazidi, A., Koushki, H., Naseazadani, M., (2012), A Synoptic Analysis of Higher-than 30 mm Rains from 2000 to 2005: The Case of Khoram Abad, *Journal of Geographical Notion*, Vol. 6, No. 11, pp. 1-33. [In Persian]
- Mostafaii, H., Alijani, B., Saligheh, M., (2016), Synoptic Analysis of Widespread Heavy Rains in Iran, *Journal of Spatial Analysis Environmental Hazarts*, Vol. 2, No. 4, pp. 65-76. [In Persian]

### References (in English)

- Akbary, M., Salimi, S., Hosseini, SA., & Hosseini, M., (2019), Spatio-temporal changes of atmospheric rivers in the Middle East and North Africa region, *Int J Climatol*, Vol. 39, pp. 3976–3986.
- Bao, J. S., Michelson, A., Neiman, P., Ralph, F., & Wilczak, J., (2006), Interpretation of Enhanced Integrated Water Vapor Bands Associated with Extratropical Cyclones: Their Formation and Connection to Tropical Moisture, *Monthly Weather Review*, Vol. 134, pp. 1063–1080.
- Blamey, RC., Ramos, AM, Trigo, RM., Tomé, R., Reason, CJC., (2018) The influence of atmospheric rivers over the South Atlantic on winter rainfall in South Africa, *Journal of Hydrometeorology*, Vol. 19. No. 1, pp. 127–142.
- Dettinger, MD., Ralph, FM., Das, T., Neiman, PJ., Cayan, DR., (2011), Atmospheric Rivers, Floods and the Water Resources of California, *Water*, Vol. 3, No. 2, pp. 445–478.
- Dettinger, M., (2011), Climate change, atmospheric rivers, and floods in California - a multimodel analysis of storm frequency and magnitude changes, *Journal of the American Water Resources Association*, Vol. 47, No. 3, pp. 514–523.
- Dettinger, MD., (2013), Atmospheric Rivers as Drought Busters on the U.S. West Coast, *Journal of Hydrometeorology*, Vol. 14, No. 6, pp. 1721–1732.
- Esfandiari, N., Lashkari, H., (2020), Identifying atmospheric river events and their paths into Iran, *Theor Appl Climatol*, [Online].

- Espinoza, V., Waliser, DE., Guan, B., Lavers, DA., Ralph, FM., (2018), Global Analysis of Climate Change Projection Effects on Atmospheric Rivers, *Geophysical Research Letters*, Vol. 45, No. 9, pp. 4299–4308.
- Eiras-Barca, J., Lorenzo, N., Taboada, J., (2018), On the relationship between atmospheric rivers, weather types and floods in Galicia (NW Spain), *Nat Hazards Earth Syst Sci*, Vol. 18, pp. 1633–1645.
- Gimeno, L., Nieto, R., Vázquez, M., Lavers, DA., (2014) Atmospheric rivers: a mini-review, *Frontiers in Earth Science*, Vol. 2, (March), pp. 1–6.
- Guan, B., Molotch, NP., Waliser, DE., Fetzer, EJ., Neiman, PJ., (2010), Extreme snowfall events linked to atmospheric rivers and surface air temperature via satellite measurements, *Geophysical Research Letters*, Vol. 37, No. 20, pp. 2–7.
- Guan, B., Waliser, DE., (2015), Detection of atmospheric rivers: Evaluation and application of an algorithm for global studies, *Journal of Geophysical Research*, Vol. 120, No. 24, pp. 12,514–12,535.
- Groisman, PY., Knight, RW., Karl, TR., (2001) Heavy Precipitation and High Streamflow in the Contiguous United States: Trends in the Twentieth Century, *Bulletin of the American Meteorological Society*, Vol. 82, No. 2, pp. 219–246.
- Haylock, MR., Cawley, GC., Harpham, C., Wilby, RL., Goodess, CM., (2006) Downscaling heavy precipitation over the United Kingdom: a comparison of dynamical and statistical methods and their future scenarios, *International Journal of Climatology*, Vol. 26, No. 10, pp. 1397–1415.
- Junker, NW., Grumm, RH., Hart, R., Bosart, LF., Bell, KM., Pereira, FJ., (2008) Use of normalized anomaly fields to anticipate extreme rainfall in the mountains of northern California, *Weather and Forecasting*, Vol. 23, No. 3, pp. 336–356.
- Knippertz, P., Wernli, H., Gläser, G., (2013) A global climatology of tropical moisture exports, *Journal of Climate*, Vol. 26, No. 10, pp. 3031–3045.
- Lavers, DA., Villarini, G., Allan, RP., Wood, EF., Wade, AJ., (2012) The detection of atmospheric rivers in atmospheric reanalyses and their links to British winter floods and the large-scale climatic circulation. *Journal of Geophysical Research Atmospheres*, Vol. 117, No. 20, pp. 1–13.
- Lavers, DA., Villarini, G., (2013), The nexus between atmospheric rivers and extreme precipitation across Europe, *Geophysical Research Letters*, Vol. 40, No. 12, pp. 3259–3264.
- Lavers, DA., Villarini, G., (2015), The contribution of atmospheric rivers to precipitation in Europe and the United States, *Journal of Hydrology*, Vol. 522, No. 1, pp. 382–390.
- Nayak, MA., Villarini, G., Lavers, DA., (2014) On the skill of numerical weather prediction models to forecast atmospheric rivers over the central United States, *Geophysical Research Letters*, Vol. 41, No. 12, pp. 4354–4362.
- Neiman, PJ., Ralph, FM., Wick, GA., Lundquist, JD., Dettinger, MD., (2008) Meteorological Characteristics and Overland Precipitation Impacts of Atmospheric Rivers Affecting the West Coast of North America Based on Eight Years of SSM/I Satellite Observations, *Journal of Hydrometeorology*, Vol. , No. 1, pp. 22–47.
- Paltan, H., Waliser, D., Lim, WH., Guan, B., Yamazaki, D., Pant, R., Dadson, S., (2017), Global Floods and Water Availability Driven by Atmospheric Rivers, *Geophysical Research Letters*, Vol. 44, No. 20, pp. 10,387–10,395.
- Ralph, FM., Neiman, PJ., Wick, GA., (2004), Satellite and CALJET Aircraft Observations of Atmospheric Rivers over the Eastern North Pacific Ocean during the Winter of 1997/98, *Monthly Weather Review*, Vol. 132, No. 7, pp. 1721–1745.
- Ralph, FM., Dettinger, MD., Cairns, MM., (2018), Defining “atmospheric river”: How the Glossary of Meteorology helped resolve a debate, *Bull Am Meteorol Soc*, Vol. 99, pp. 837–839.
- Ramos, AM., Trigo, RM., Liberato, MLR., Tomé, R., (2015), Daily Precipitation Extreme Events in the Iberian Peninsula and Its Association with Atmospheric Rivers, *Journal of Hydrometeorology*, Vol. 16, No. 2, pp. 579–597.
- Ryoo, J.M., Waliser, DE., Fetzer, EJ., (2011). Trajectory analysis on the origin of air mass and moisture associated with Atmospheric Rivers over the west coast of the United States, *Atmos Chem Phys Discuss*, Vol. 11, pp.11109–11142.
- Vitart, F., Waliser, DE., DeFlorio, MJ., Ralph, FM., Guan, B., Lavers, DA., (2018), Global Assessment of Atmospheric River Prediction Skill, *Journal of Hydrometeorology*, Vol. 19, No. 2, pp. 409–426.
- Waliser, D., Guan, B., (2017), Extreme winds and precipitation during landfall of atmospheric rivers, *Nature Geoscience*, Vol. 10, No. 3, pp. 179–183.
- Zhu, Y., Newell RE., (1998), A Proposed Algorithm for Moisture Fluxes from Atmospheric Rivers, *Monthly Weather Review*, Vol. 126, No. 3, pp. 725–735.